

Fig. 1  
PRIOR ART

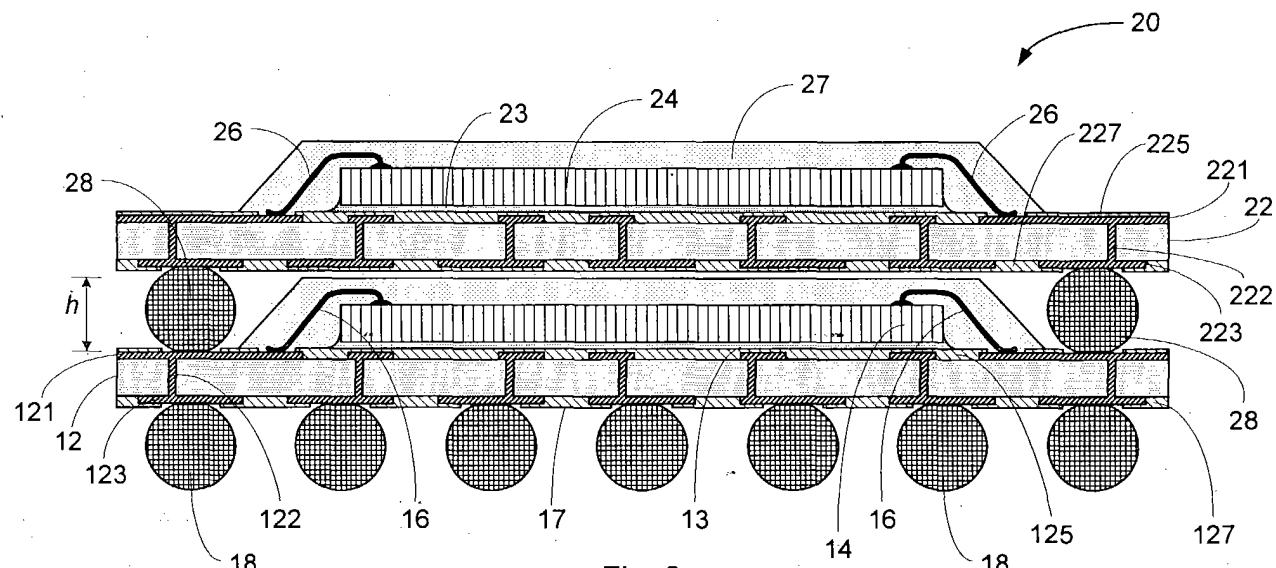


Fig. 2  
PRIOR ART

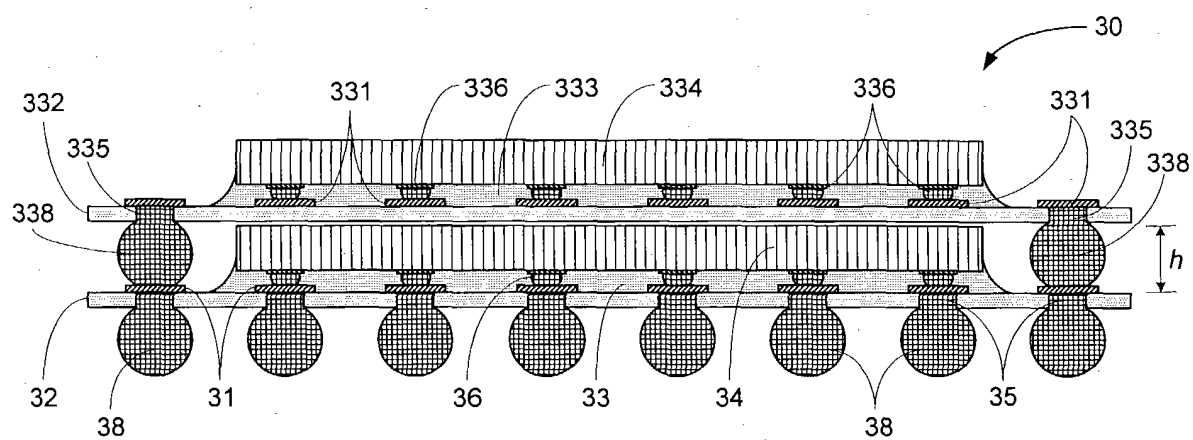


Fig. 3  
PRIOR ART

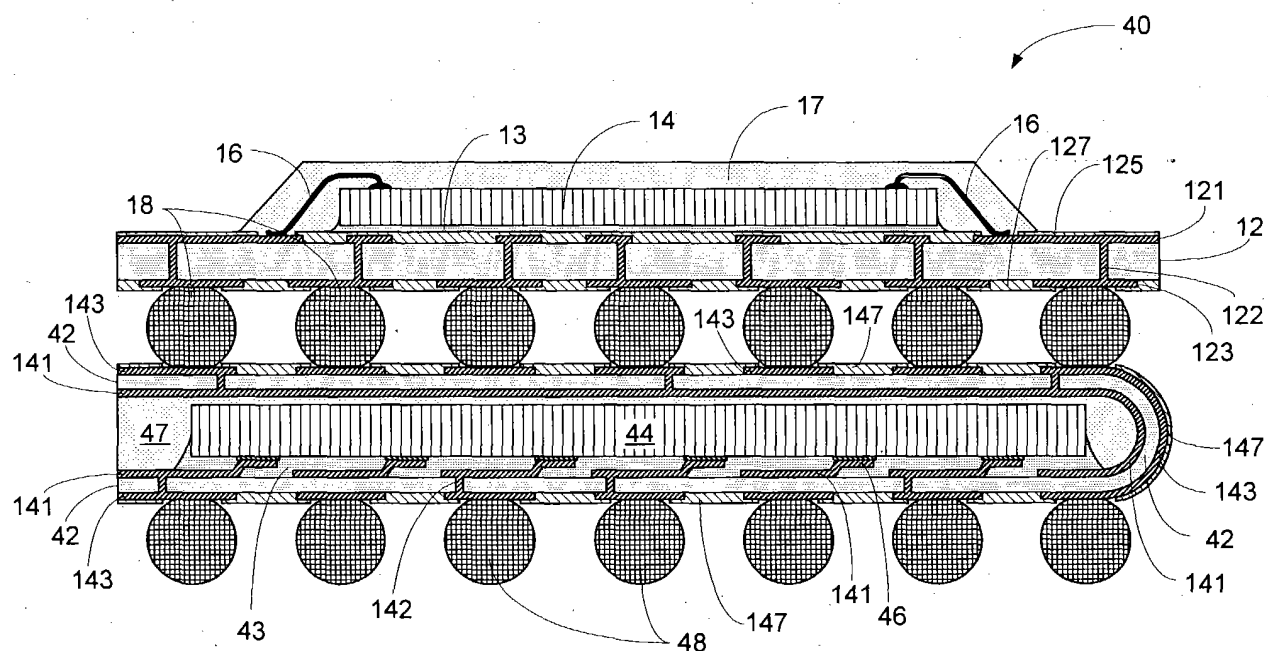


Fig. 4  
PRIOR ART

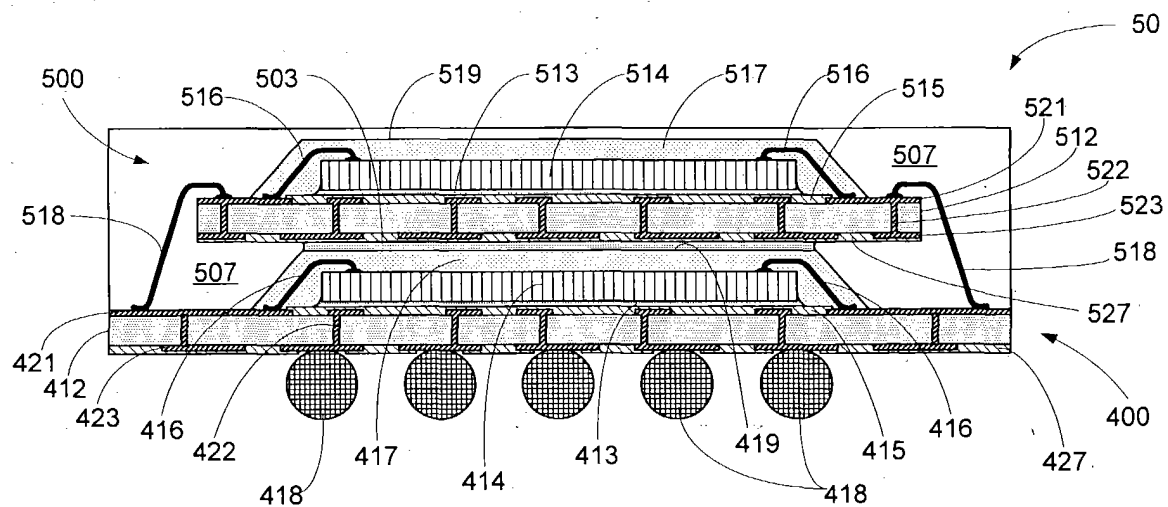


Fig. 5A

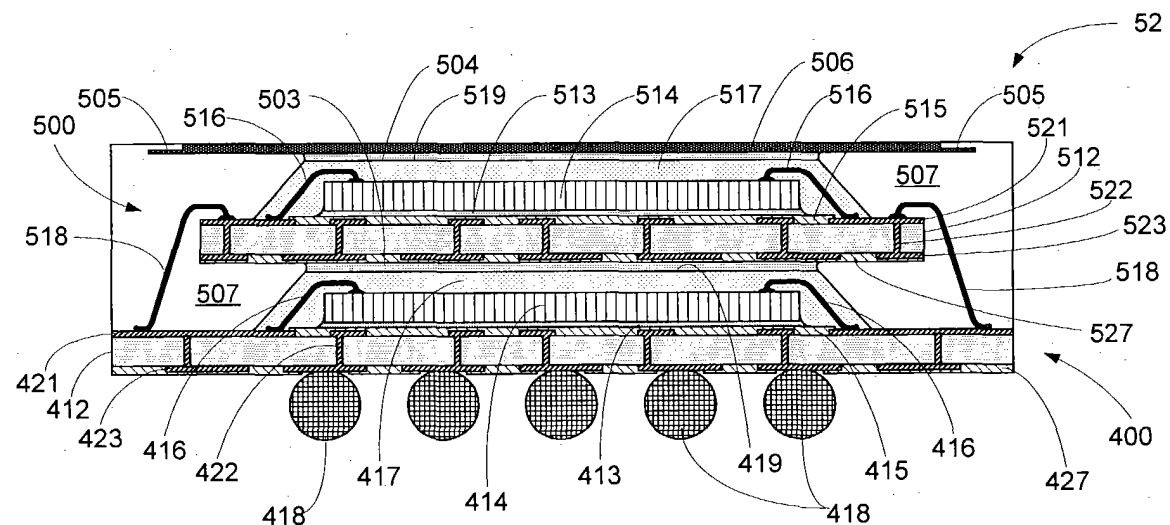


Fig. 5D

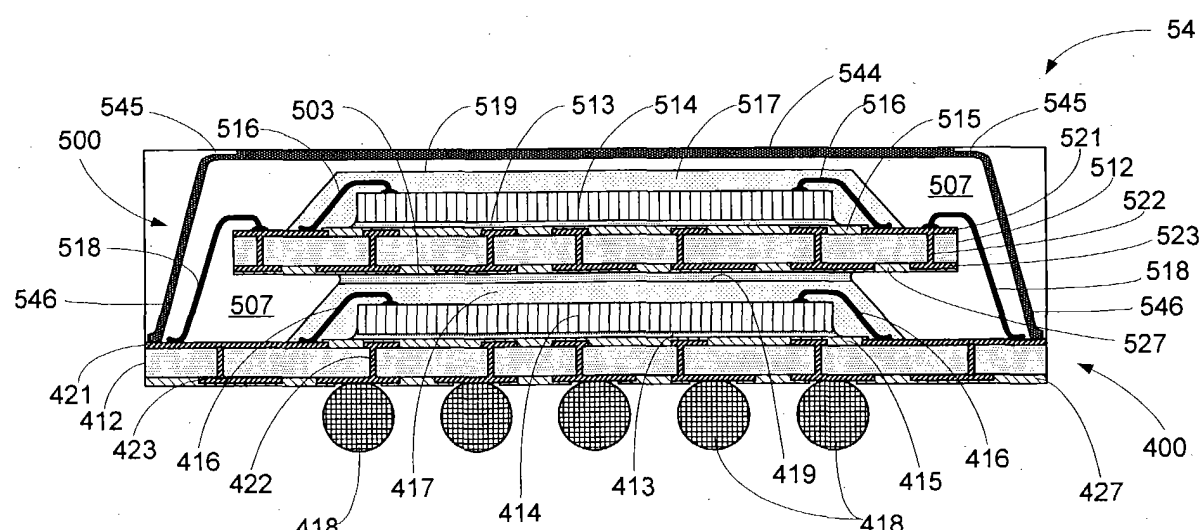


Fig. 5E

4 / 18

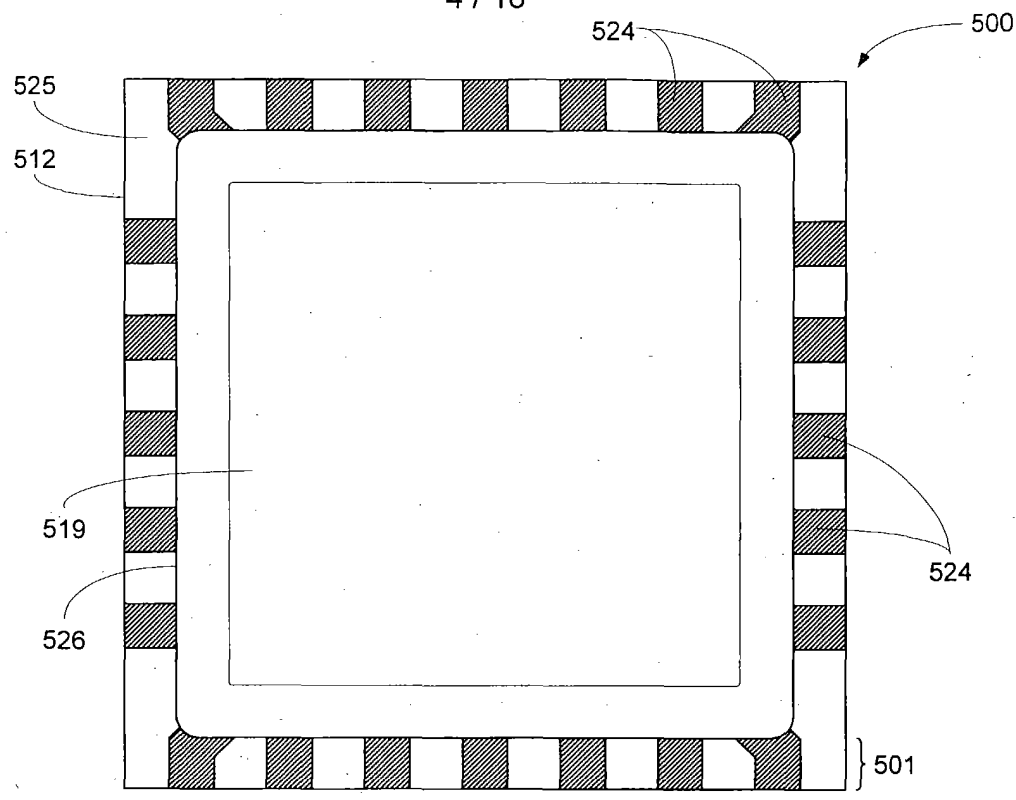


Fig. 5B

501

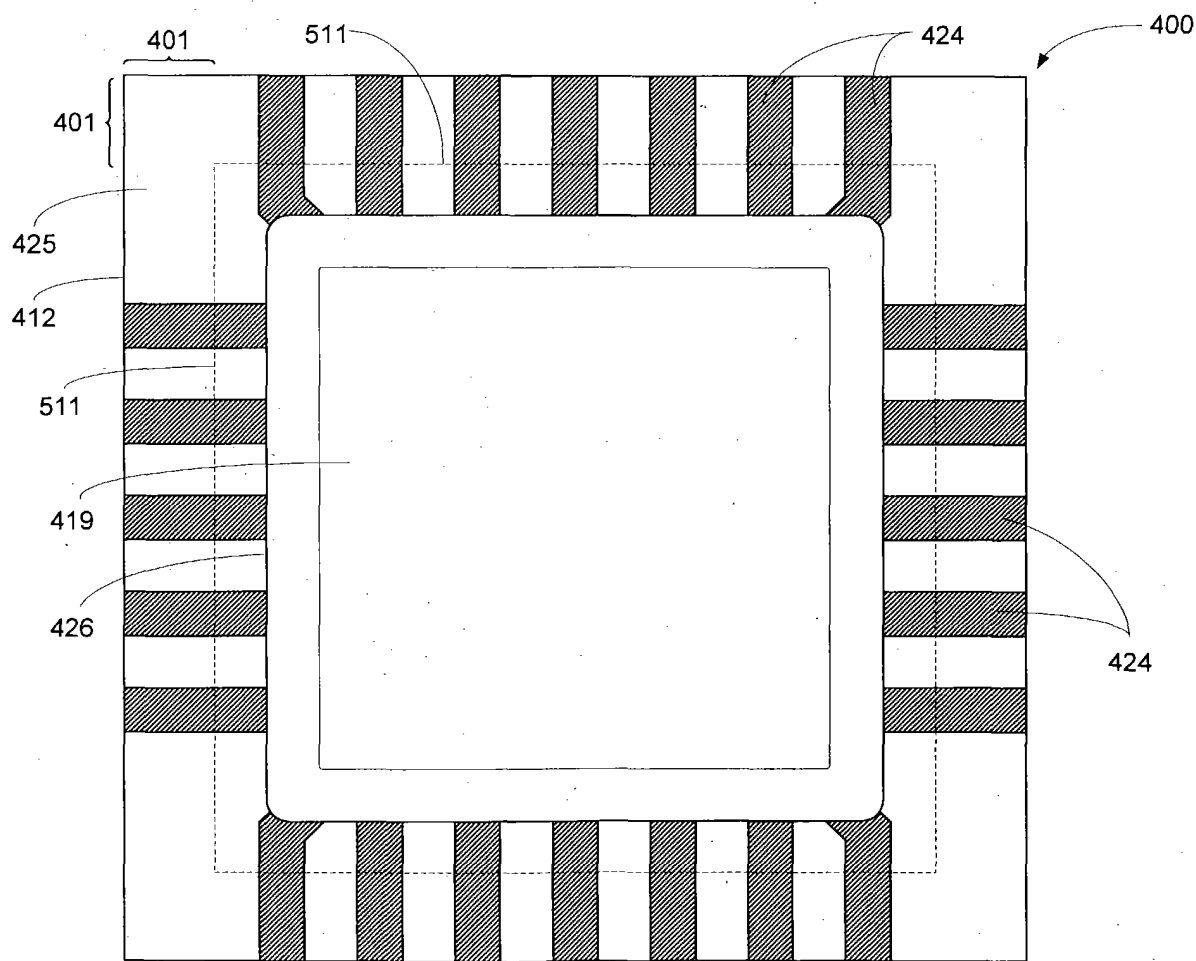


Fig. 5C

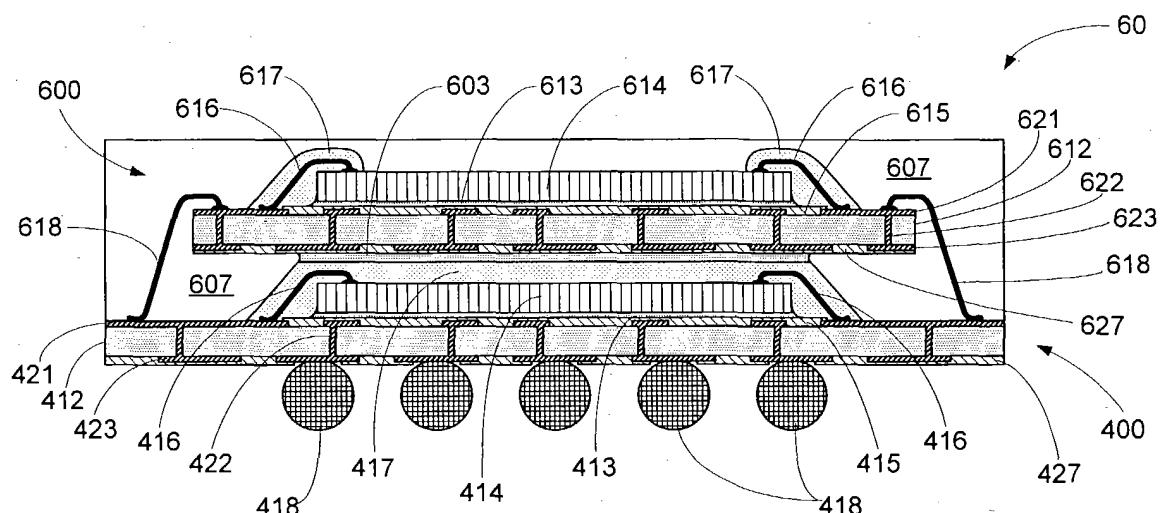


Fig. 6A

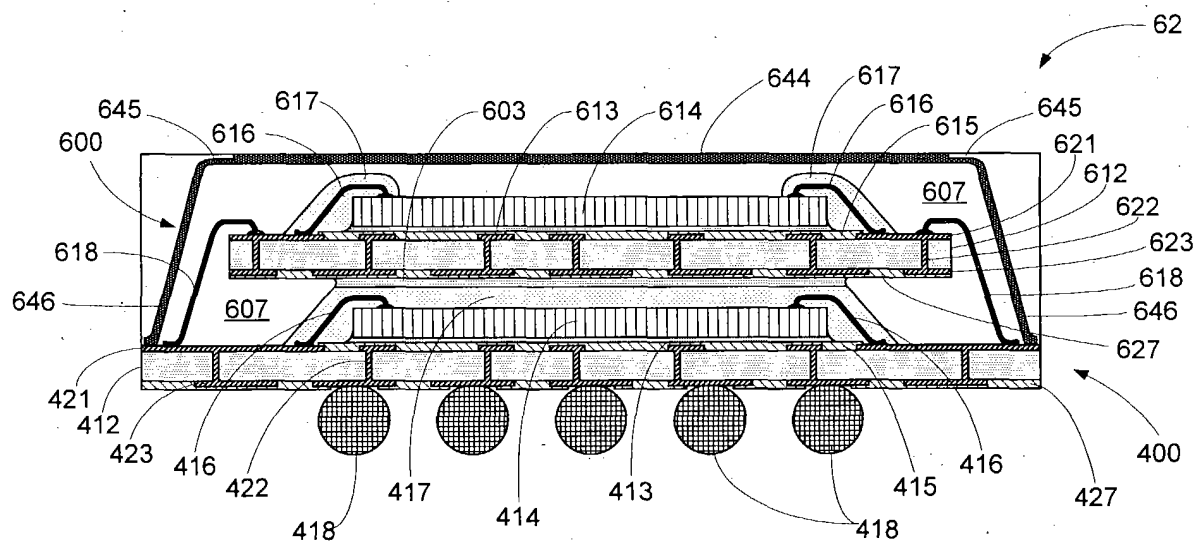


Fig. 6B

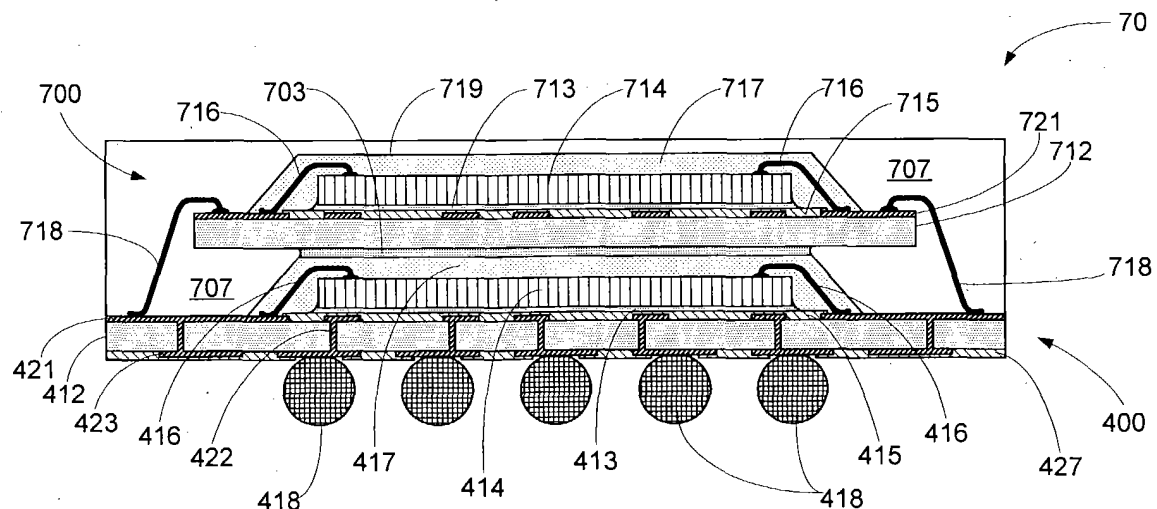


Fig. 7

6 / 18

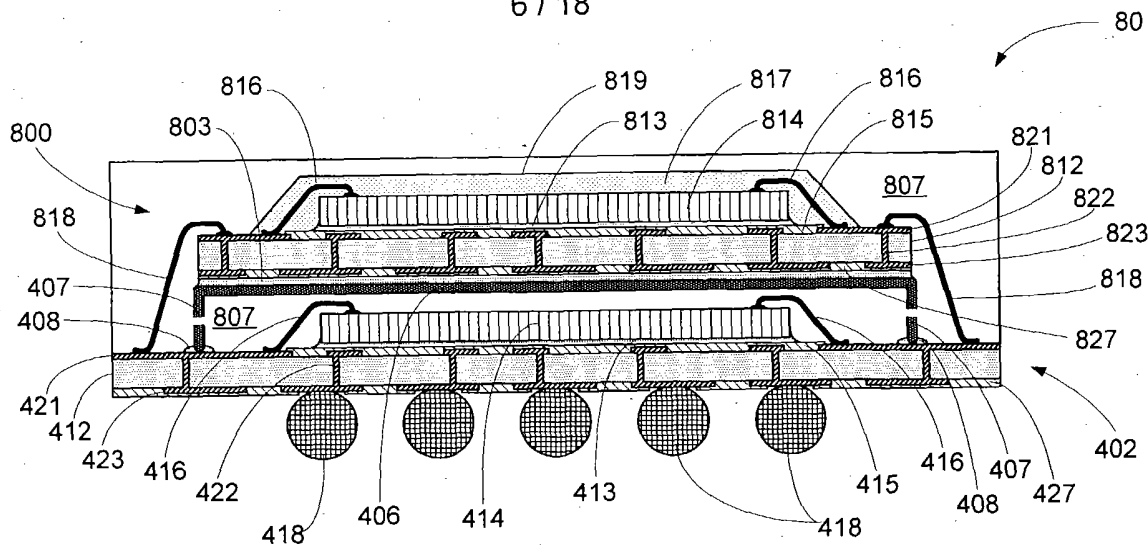


Fig. 8A

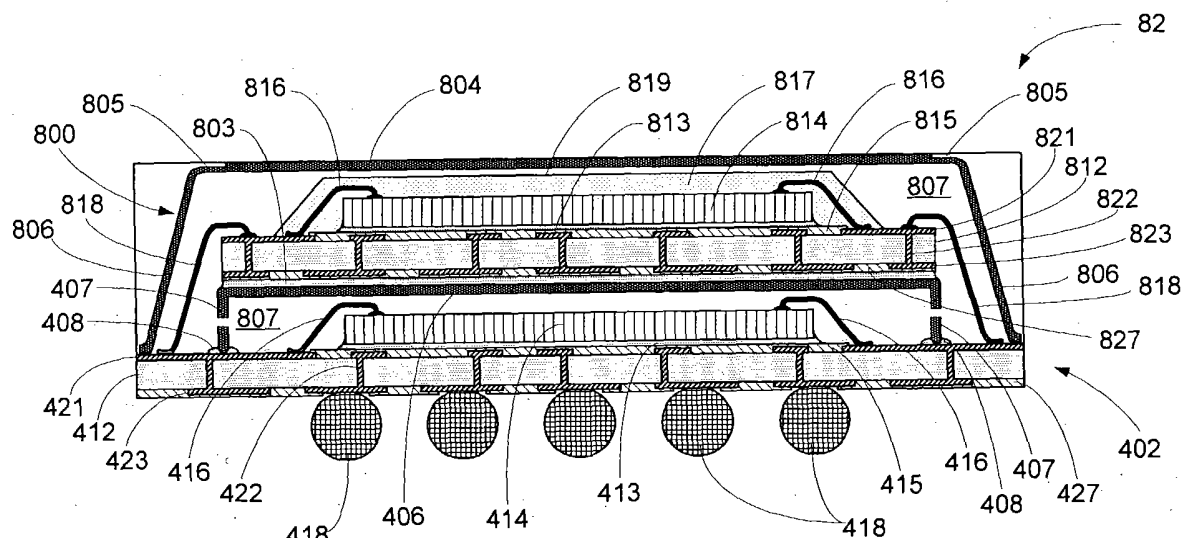


Fig. 8B

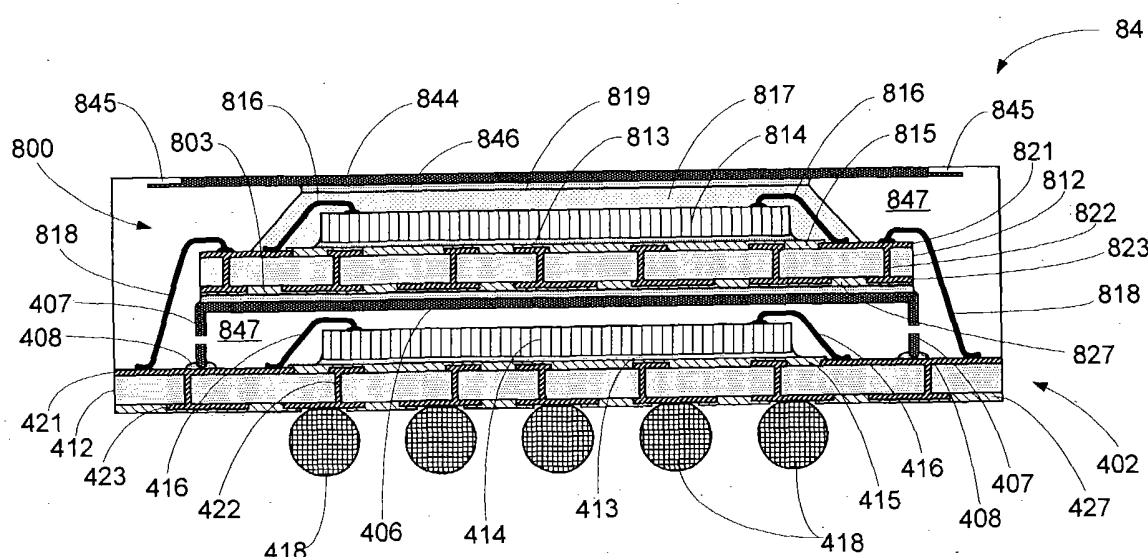


Fig. 8C

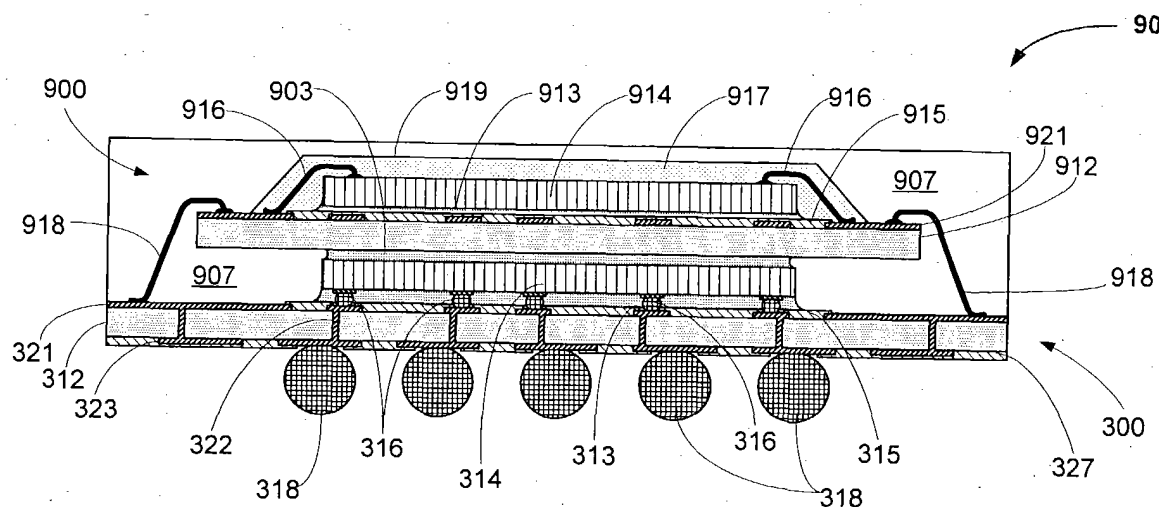


Fig. 9A

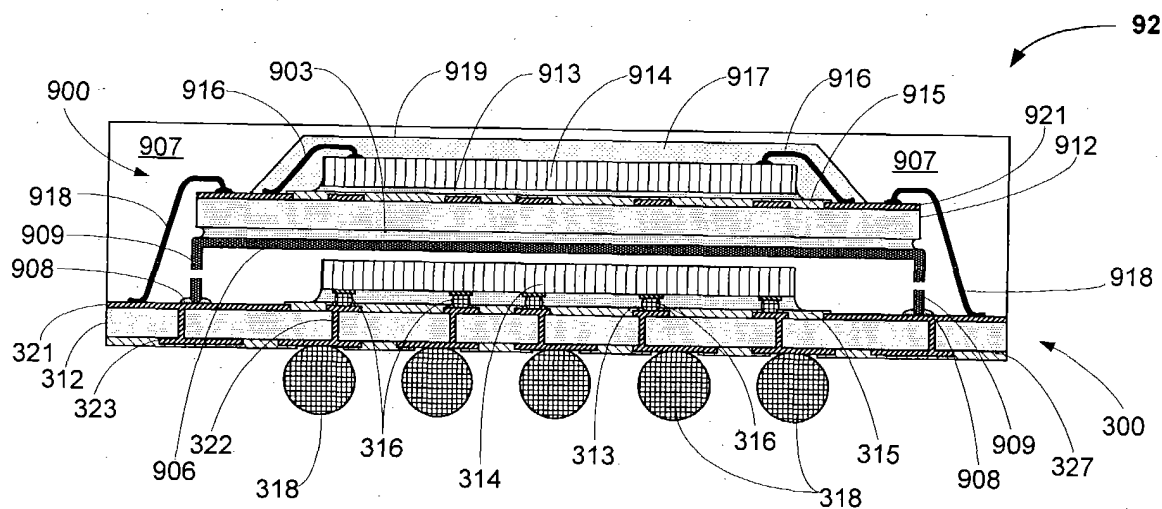


Fig. 9B

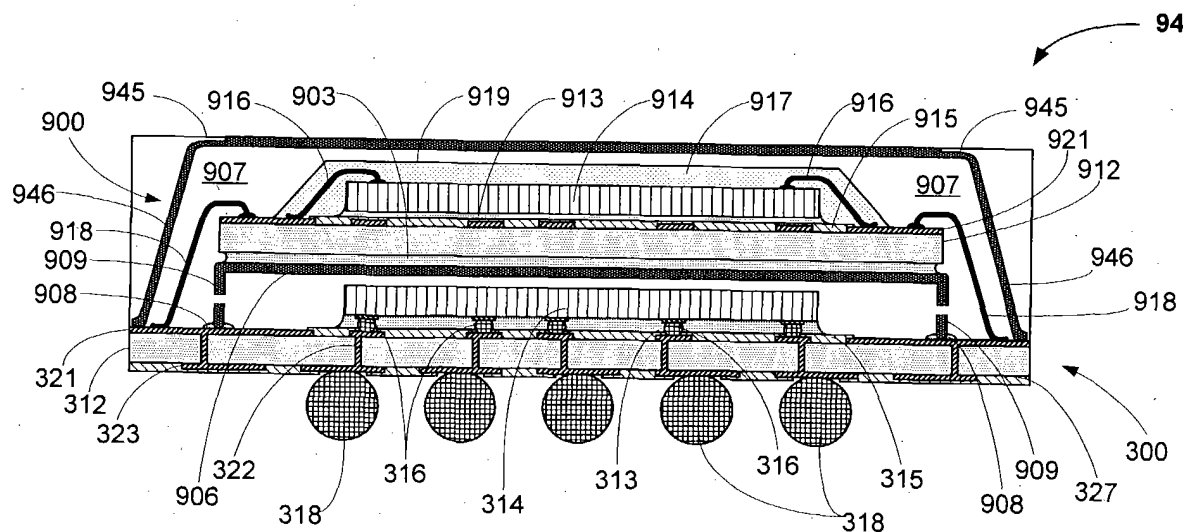


Fig. 9C



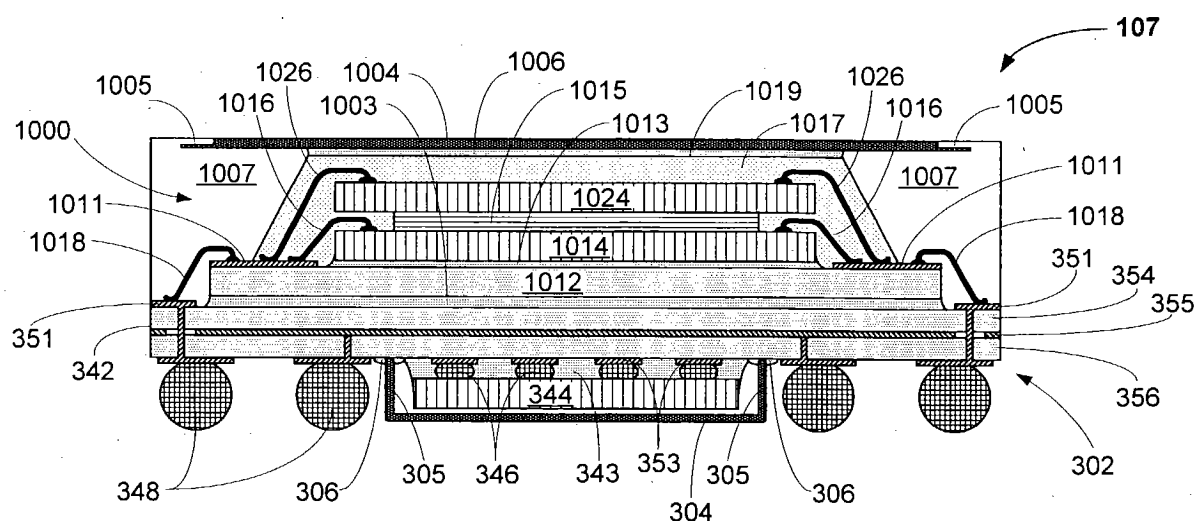


Fig. 10D

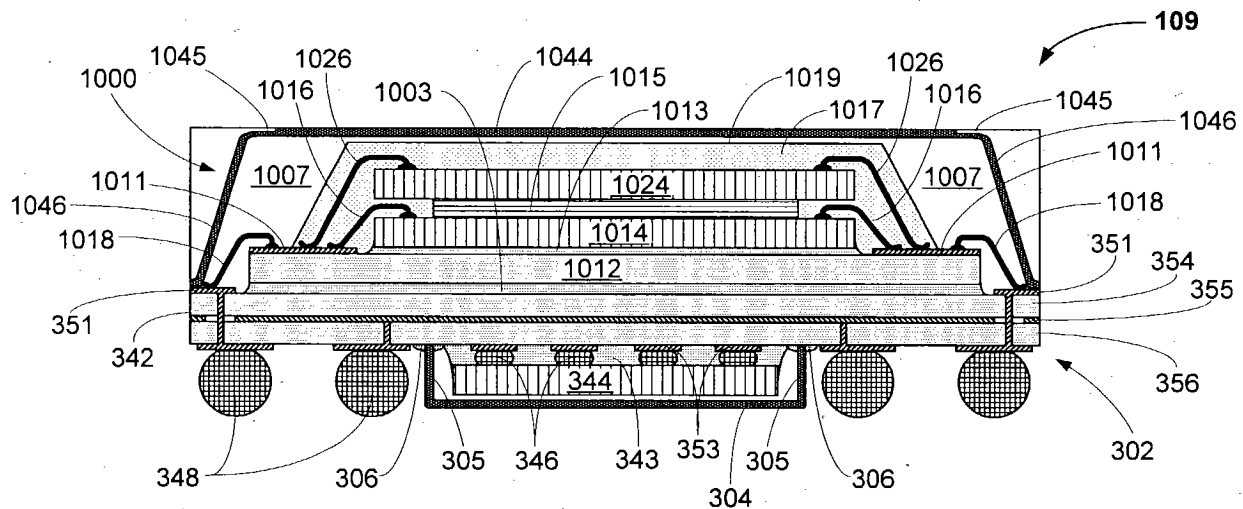


Fig. 10E

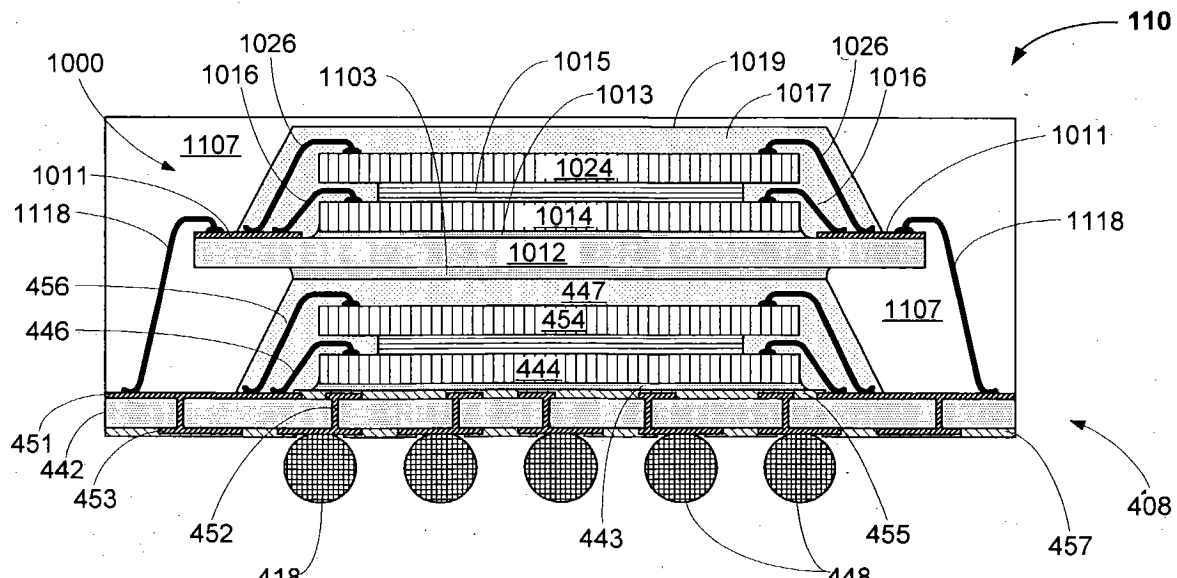


Fig. 11

10 / 18

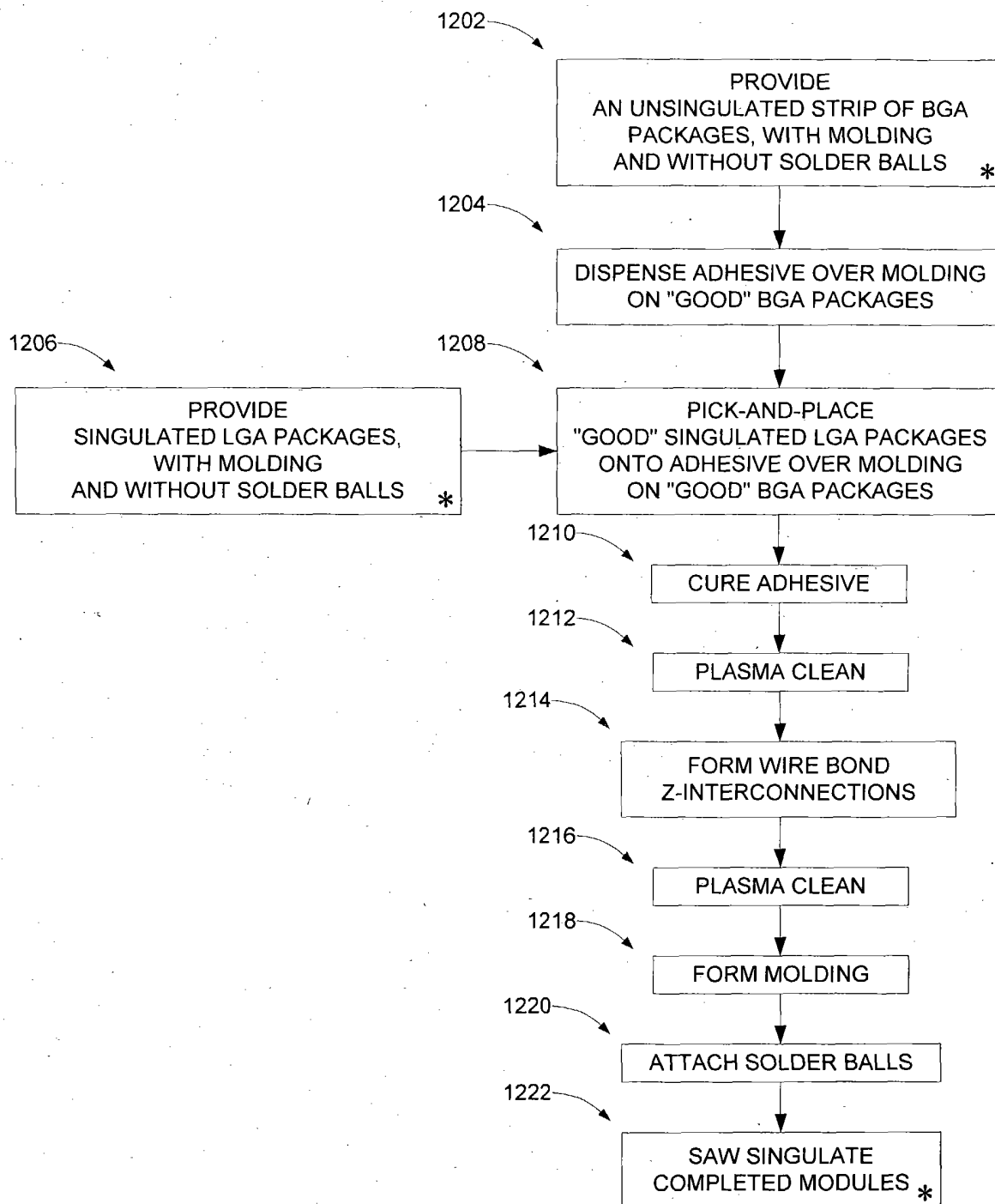


Fig. 12

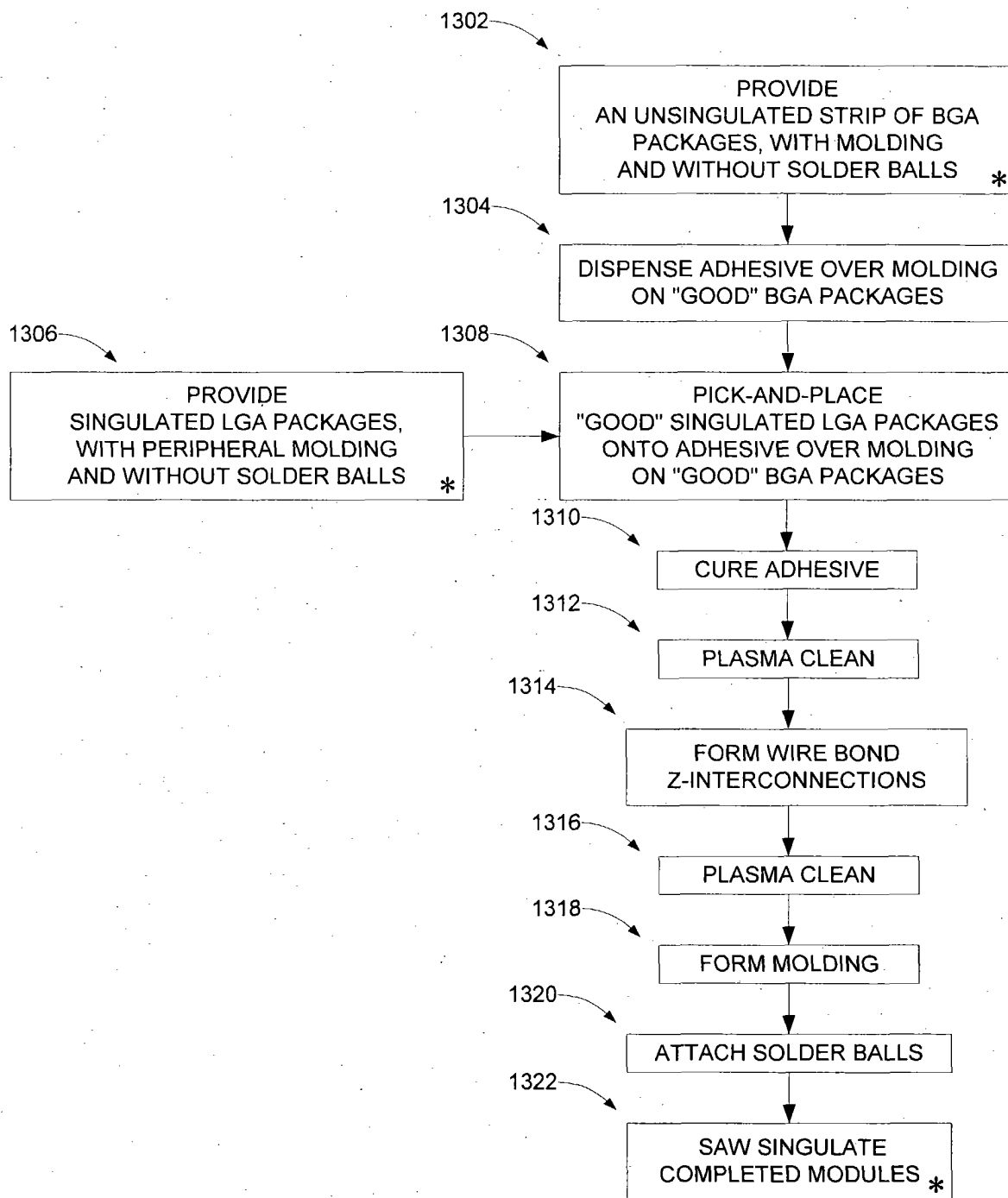


Fig. 13

12 / 18

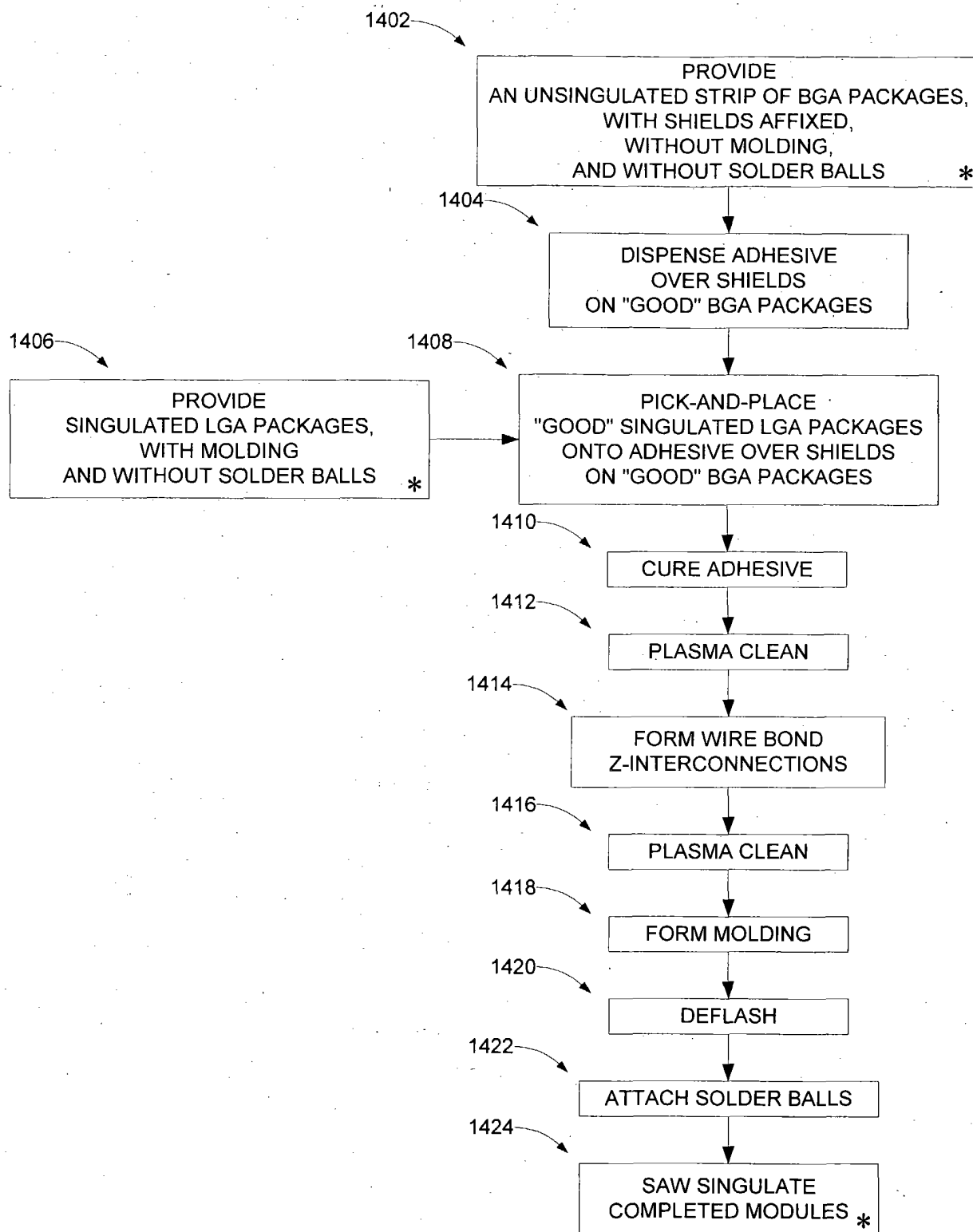


Fig. 14A

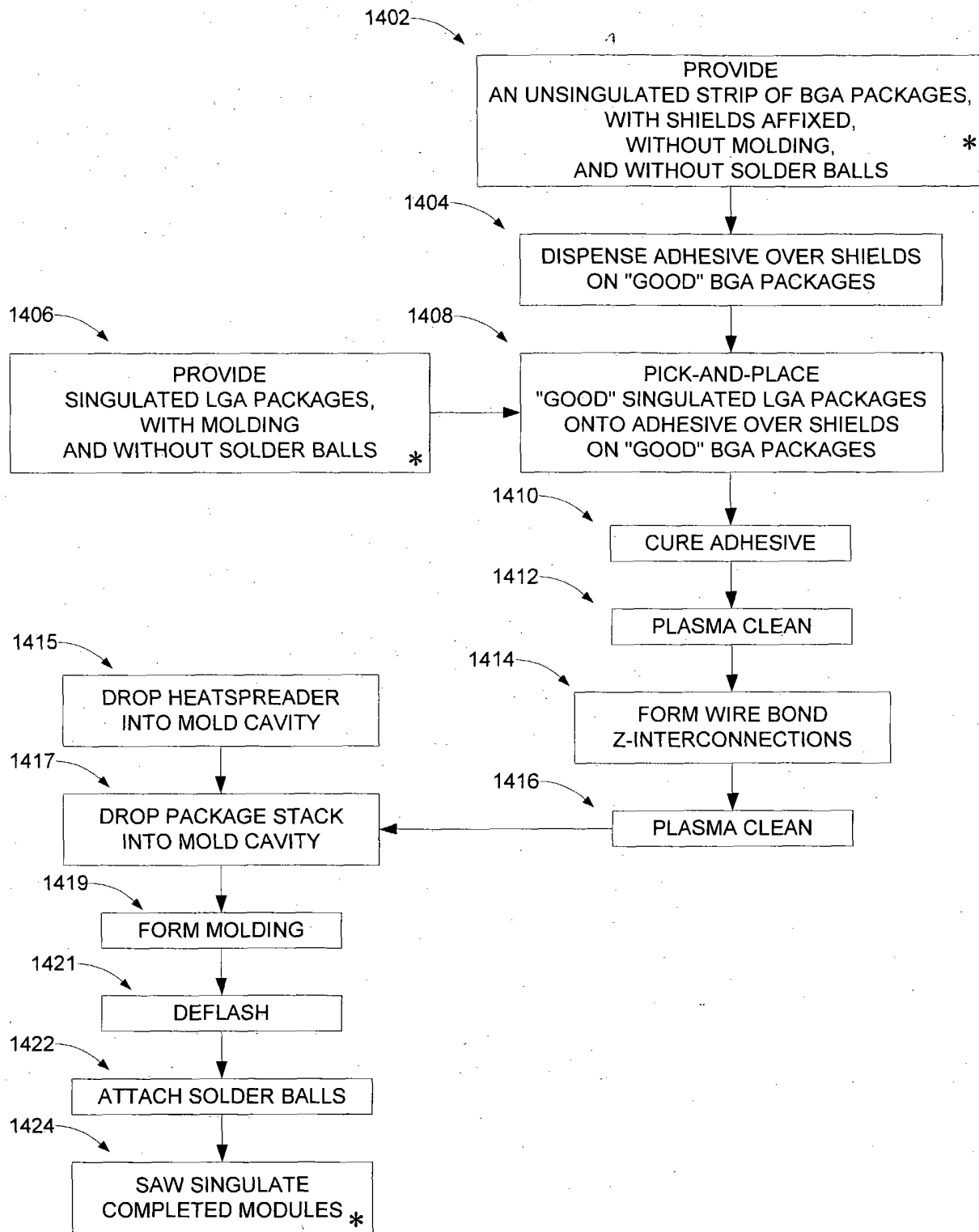
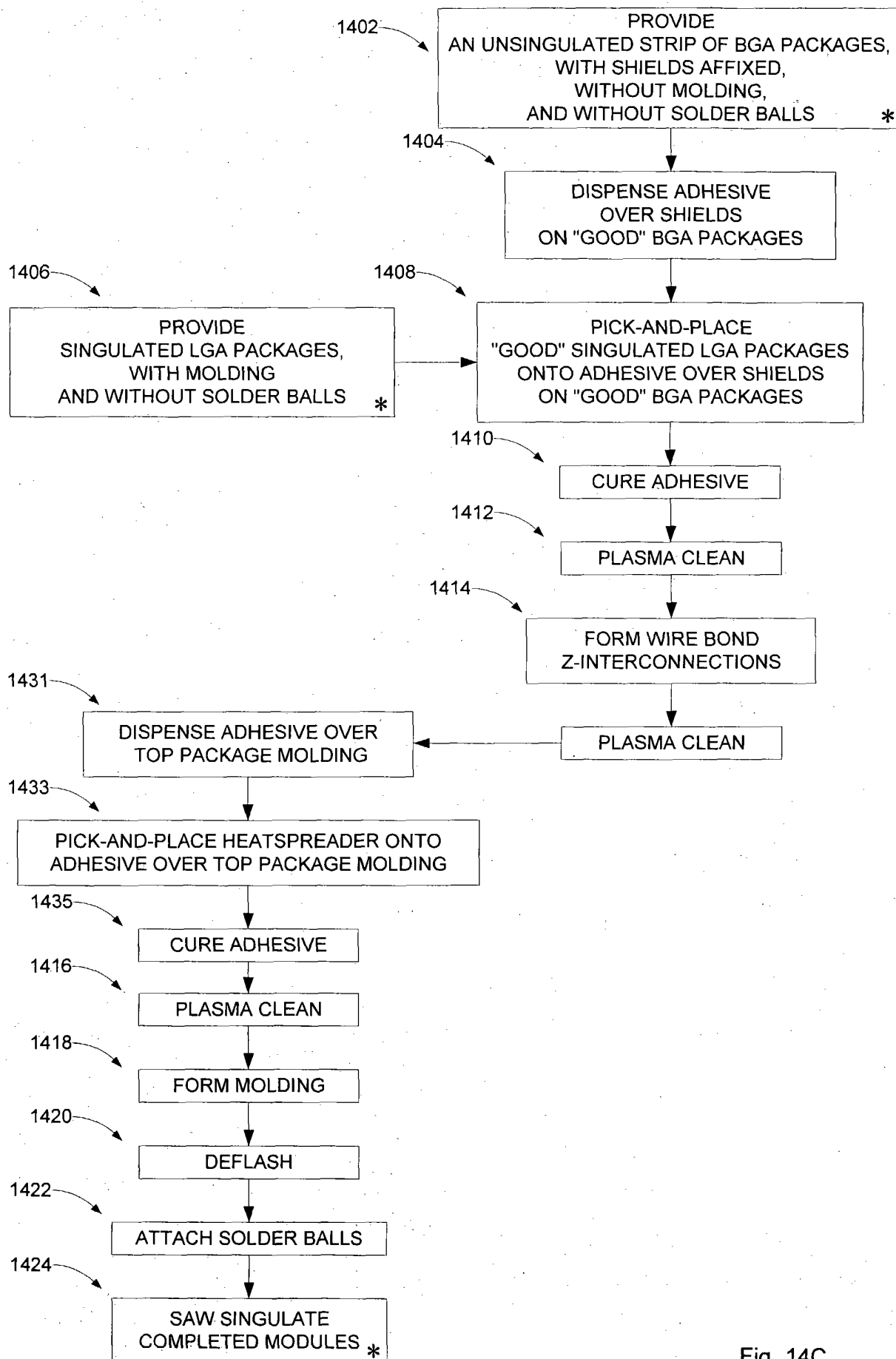


Fig. 14B



15 / 18

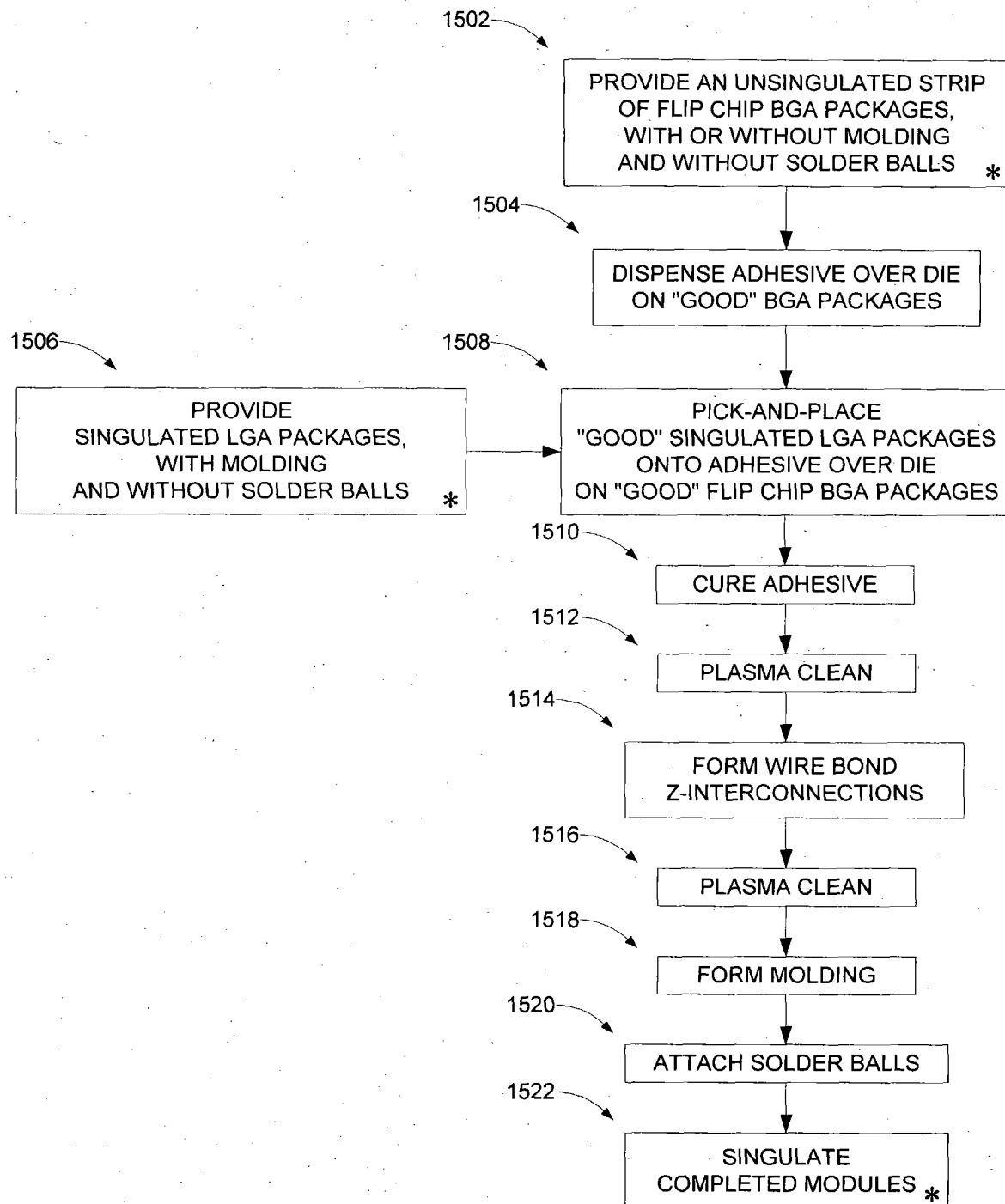


Fig. 15

16 / 18

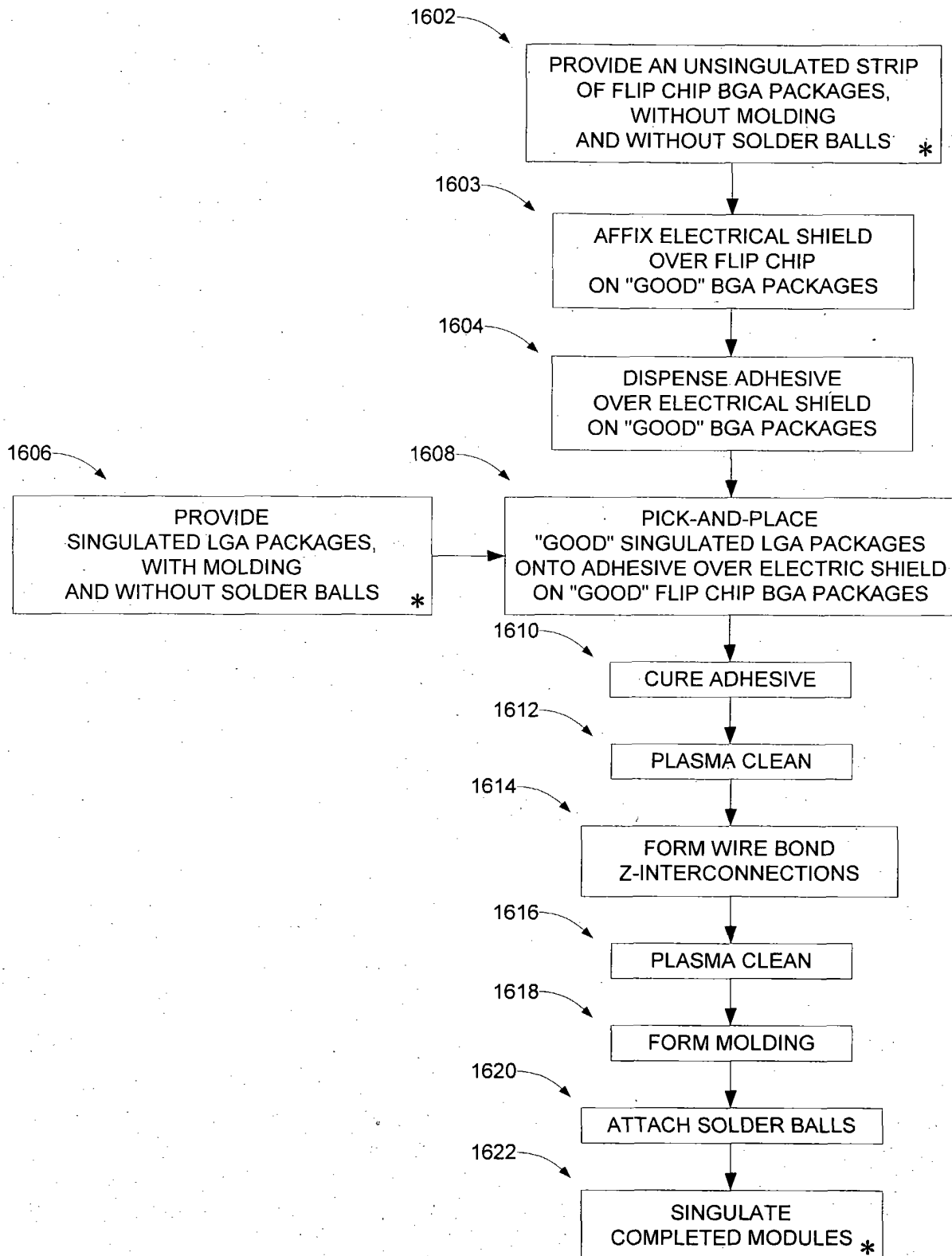


Fig. 16

17 / 18

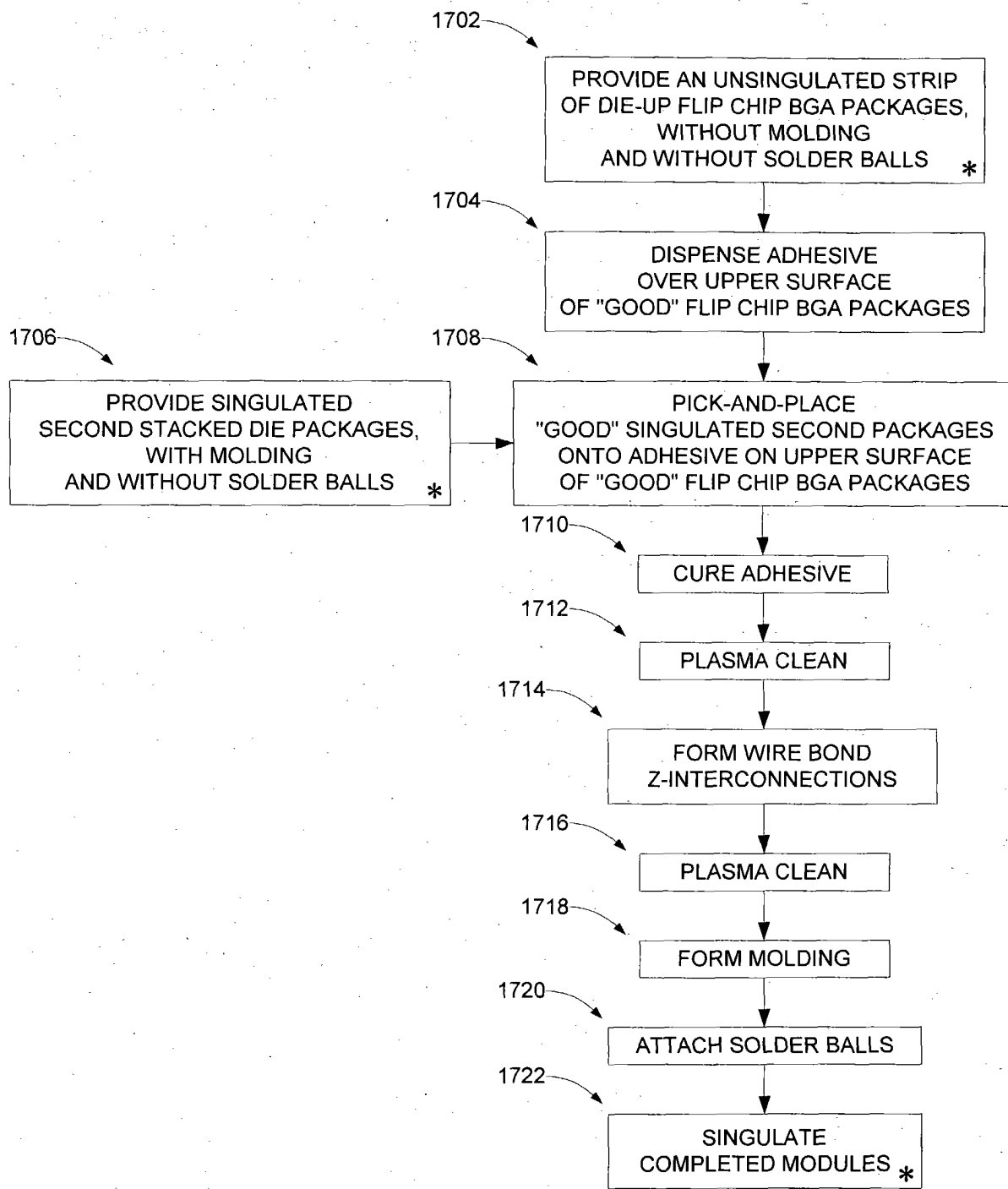


Fig. 17

18 / 18

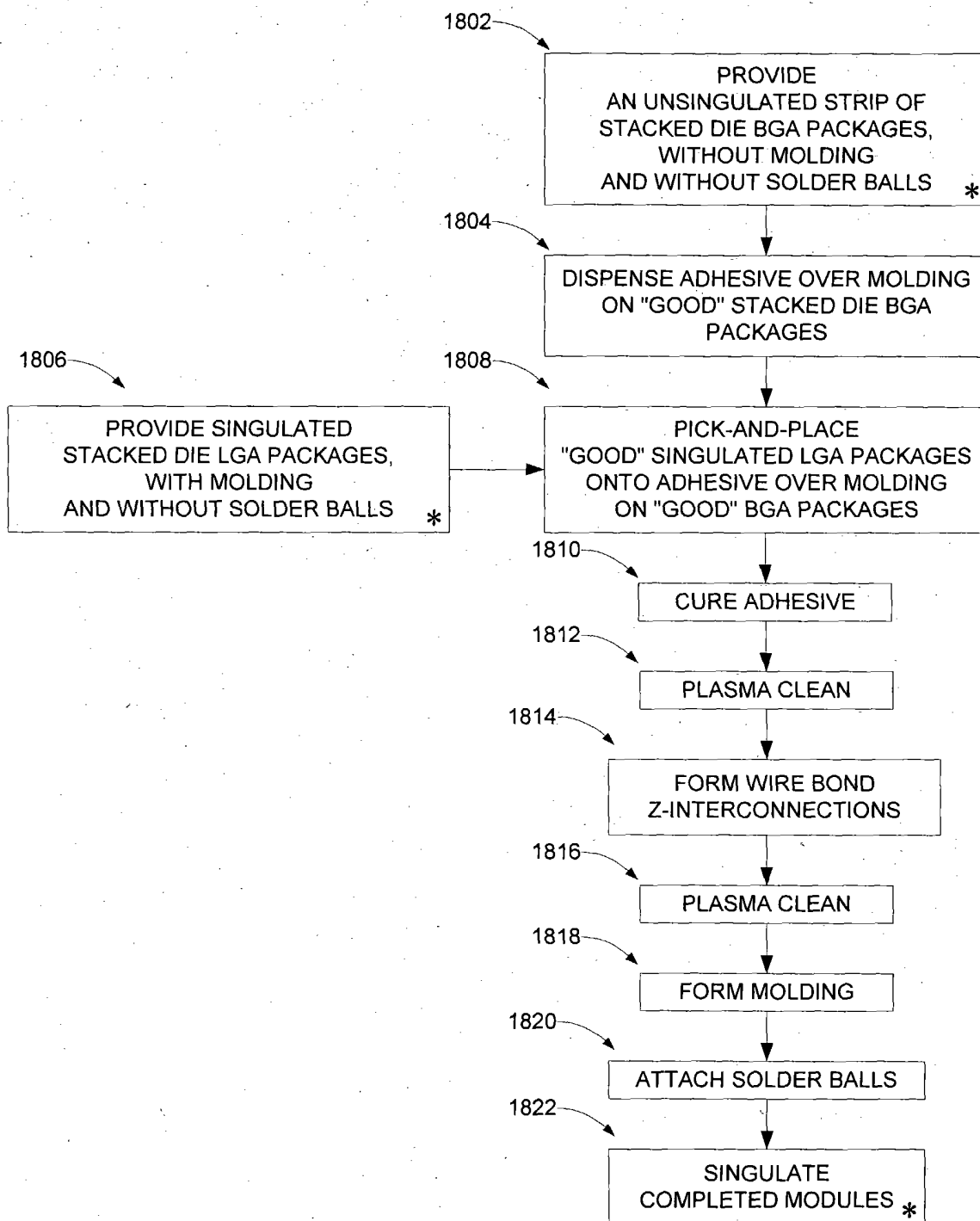


Fig. 18